

ALGORYTMY ODWRACANIA, LU-FAKTORYZACJI, OBLICZANIA WYZNACZNIKA MACIERZY

JAN SMÓŁKA

ABSTRACT. Niniejszy dokument zawiera sprawozdanie z wykonania ćwiczenia 2. w ramach przedmiotu Algorytmy Macierzowe w semestrze zimowym roku akademickiego 2023/24.

1. ALGORYTMY

W ramach zadania zaimplementowano trzy algorytmy: LU-faktoryzacji (w wariacie LUP), obliczania wyznacznika oraz odwracania macierzy. Każda metoda sformułowana jest rekurencyjnie, jednak z ponieważ pierwsze dwie z nich są wysoce podatne na derekursywację, zostały zaimplementowane iteracyjnie. Również z przyczyn implementacyjnych, procedura odwracania macierzy działa poprawnie przy założeniu, że na wejściu podano macierz kwadratową o rozmiarze będącym potęgą dwójki.

1.1. Faktoryzacja LUP. Algorytm rekurencyjny operuje na macierzach kwadratowych o dowolnym rozmiarze. Komponenty L i U są przechowywane w nadpisanej macierzy A , zaś permutacja wierszy skonstruowana w procesie pivotingu - w osobnym komponencie P . *Pivot* może być wybierany na wiele sposobów. W implementacji przyjęto, że jest to element o największej wartości bezwzględnej w danej kolumnie.

Algorithm 1 Faktoryzacja LUP macierzy kwadratowej

Require: $A \in M_{n \times n} \wedge n \in \mathbb{N}_+$

Ensure: $\det(A) \neq 0 \wedge P = [1, 2, \dots, n]$

for $i \leftarrow 1 \dots n - 1$ **do**

$pivot \leftarrow find_pivot(A, i)$

$swap(P, i, pivot)$

$swap_rows(A, i, pivot)$

$divide_by_pivot(A[i + 1 \dots n, i])$

$subtract_schur_complement(A[i \dots n, i \dots n])$

end for

1.2. Obliczanie wyznacznika. Przytoczony algorytm obliczania wyznacznika polega na przeprowadzeniu eliminacji Gaussa i wzięciu iloczynu elementów diagonalnych, z dokładnością do znaku, ustalonego na podstawie liczby zamian wierszy dokonanych w procesie *pivotingu*.

Algorithm 2 Obliczanie wyznacznika macierzy

Require: $A \in M_{n \times n} \wedge n \in \mathbb{N}$

Ensure: $swaps = 0 \wedge result = 1$

for $i \leftarrow 1 \dots n$ **do**

$pivot, pivot_row \leftarrow find_pivot(A, i)$

$result \leftarrow result \cdot pivot$

if $pivot_row \neq i$ **then**

$swap_rows(A, i, pivot_row)$

$swaps \leftarrow swaps + 1$

end if

$divide_row(A, i)$

$reduce_column(A, i)$

end for **return** $result \cdot (-1)^{swaps}$

Dla prostoty zapisu algorytmu, w pseudokodzie występują procedury *divide_row* i *reduce_column*. Reprezentują one standardowe kroki w eliminacji Gaussa - podzielenie bieżącego wiersza przez *pivot* oraz wyzerowanie elementów poniżej niego.

1.3. Wyznaczanie macierzy odwrotnej. Wybrany algorytm odwracania macierzy jest identyczny z zaprezentowanym na wykładzie, dlatego przedstawienie sprowadza się do przytoczenia wzorów:

$$\begin{bmatrix} B_{11} & B_{12} \\ B_{21} & B_{22} \end{bmatrix} = \begin{bmatrix} A_{11} & A_{12} \\ A_{21} & A_{22} \end{bmatrix}^{-1} \quad (1.1)$$

$$S_{22} = A_{22} \cdot A_{11}^{-1} \cdot A_{12} \quad (1.2)$$

$$B_{11} = A_{11}^{-1} \cdot (I + A_{12} \cdot S_{22}^{-1} \cdot A_{21} \cdot A_{11}^{-1}) \quad (1.3)$$

$$B_{12} = -A_{11}^{-1} \cdot A_{12} \cdot S_{22}^{-1} \quad (1.4)$$

$$B_{21} = -S_{22}^{-1} \cdot A_{21} \cdot A_{11}^{-1} \quad (1.5)$$

$$B_{22} = S_{22}^{-1} \quad (1.6)$$

```

@assume_effects :total !:nothrow function lup(matrix::Matrix{Float64}; decompose::Bool = false)::LUP
    result = decompose ?
        DecomposedLUP(matrix) :
        InplaceLUP(matrix)

    n = result.size

    for col ∈ 1:n-1
        pivot_row, pivot = get_pivot(result.factorized, col)

        pivot ≈ 0.0 && throw(SingularException(col))

        if pivot_row ≠ col
            swap!(result.p, col, pivot_row)
            swap_rows!(result.factorized, col, pivot_row)
        end

        scale_column!(result.factorized, col)
        subtract_schur_complement!(result.factorized, col)
    end

    decompose && fill_triangles!(result)

    return result
end

```

FIGURE 1. Funkcja realizująca faktoryzację

2. IMPLEMENTACJA

W implementacjach dużą uwagę poświęcono optymalizacji. Procedury działają sekwencyjnie, jednak szeroko wykorzystują wektoryzację sprzętową SIMD oraz optymalizacje poliedralne dla zagnieżdżonych pętli. Wszystkie działania zmiennoprzecinkowe wykonywane na potrzeby algorytmu odbywają się w standardzie *fastmath*, w celu wykorzystania potencjalnych sprzętowych optymalizacji zależnych od platformy. Język Julia posiada domyślnie kontrolę indeksowania - odwołanie do tablicy poza jej granicami skutkuje wyjątkiem. W celu przyspieszenia działania procedur, kontrola została wyłączona.

2.1. LU-Faktoryzacja. Implementacja bezpośrednio odwzorowuje pseudokod. Wywołując główną funkcję można wybrać, czy wynik ma być przechowywany w postaci skompresowanej w nadpisanej macierzy wyjściowej, czy w formie dwóch osobnych macierzy trójkątnych. Dodatkowo zawsze zwracany jest wektor z zapisaną permutacją wierszy.

2.2. Obliczanie wyznacznika. W celu dodatkowej optymalizacji czasu działania, po wykryciu osobliwości macierzy (*pivot* równy 0), funkcja zwraca 0. Procedura wykonuje jawną kopię wyjściowej macierzy, w celu nienadpisywania nielokalnej pamięci i zachowania funkcyjnej czystości, co umożliwia dodatkowe optymalizacje przez kompilator.

2.3. Odwracanie macierzy. Implementacja ma postać funkcji rekurencyjnej. Działa na kwadratowych macierzach klatkowych o rozmiarach będących potęgami

```

function get_pivot(matrix::Matrix{Float64}, col::Int)::Tuple{Int, Float64}
    n = size(matrix, 1)
    @inbounds pivot = abs(matrix[col, col])
    pivot_row = col

    @simd for row in col+1:n
        @inbounds element_abs = abs(matrix[row, col])

        if element_abs > pivot
            pivot = element_abs
            pivot_row = row
        end
    end

    return (pivot_row, pivot)
end

```

FIGURE 2. Funkcja odpowiedzialna za wybór *pivota* w algorytmie LU-faktoryzacji

```

function scale_column!(matrix::Matrix{Float64}, col::Int)
    inv_element = inv(matrix[col, col])
    n = size(matrix, 1)

    @simd for i in col+1:n
        @inbounds @fastmath matrix[i, col] *= inv_element
    end
end

@polly function subtract_schur_complement!(matrix::Matrix{Float64}, col::Int)
    n = size(matrix, 1)

    for j in col+1:n
        @simd for i in col+1:n
            @inbounds @fastmath matrix[i, j] -= matrix[i, col] * matrix[col, j]
        end
    end
end

```

FIGURE 3. Funkcje pomocnicze w algorytmie LU-faktoryzacji

dwójki. Zamiera optymalizacje dotyczące wykorzystania pamięci - poszczególne klatki macierzy odwrotnej obliczane są w kolejności wymagającej stworzenia kopii tylko jednej klatki macierzy wyjściowej.

```

@assume_effects :total function det(matrix::Matrix{Float64})::Float64
    matrix = copy(matrix)
    n = size(matrix, 1)
    n_rows_permuted = 0
    result = 1.0

    for row_col in 1:n
        pivot_row, pivot = get_pivot(matrix, row_col)

        pivot ≈ 0.0 && return 0.0

        @fastmath result *= pivot

        if pivot_row ≠ row_col
            n_rows_permuted += 1
        end

        swap_rows!(matrix, row_col, pivot_row)

        divide_row!(matrix, row_col)
        reduce_column!(matrix, row_col)
    end

    sgn = isodd(n_rows_permuted) ? -1.0 : 1.0

    return @fastmath result * sgn
end

```

FIGURE 4. Funkcja realizująca algorytm obliczania wyznacznika

```

function get_pivot(matrix::Matrix{Float64}, col::Int)::Tuple{Int, Float64}
    n = size(matrix, 1)
    @inbounds pivot = abs(matrix[col, col])
    pivot_row = col

    @simd for row in col+1:n
        @inbounds element_abs = abs(matrix[row, col])

        if element_abs > pivot
            pivot = element_abs
            pivot_row = row
        end
    end

    return (pivot_row, pivot)
end

```

FIGURE 5. Funkcja odpowiedzialna za wybór *pivota* w algorytmie obliczania wyznacznika

```

function divide_row!(matrix::Matrix{Float64}, row::Int)::Nothing
    @inbounds inv_pivot = inv(matrix[row, row])
    n = size(matrix, 1)

    @simd for i in row+1:n
        @inbounds @fastmath matrix[row, i] *= inv_pivot
    end

    nothing
end

@polly function reduce_column!(matrix::Matrix{Float64}, col::Int)::Nothing
    n = size(matrix, 1)

    @inbounds for i in col+1:n
        element = matrix[i, col]
        @simd for j in 1:n
            @fastmath matrix[i, j] -= element * matrix[col, i]
        end
    end

    nothing
end

```

FIGURE 6. Funkcje pomocnicze w algorytmie obliczania wyznacznika

3. KOSZT OBLICZENIOWY

3.1. Eksperyment. By przekonać się jaka jest zależność czasu obliczeń oraz liczby poszczególnych rodzajów operacji zmiennoprzecinkowych od rozmiaru macierzy, przeprowadzono testy dla następujących danych wejściowych: $A \in M_{2^k \times 2^k}(\mathbb{R})$, $k \in \{2, 3, \dots, 14\}$. Z powodu ograniczonych możliwości sprzętowych nie było możliwe rozszerzenie zakresu potęg do 16. Uzyskane wyniki obrazują wykresy na rysunku 9-11.

3.2. Pomiar czasu. Czas wykonania mierzono za pomocą standardowego makra dostępnego w języku Julia - `@elapsed`. Mimo, że testowanie przebiegało współbieżnie, dokonane pomiary dotyczą fizycznych odczytów zegara procesora, z pominięciem kolejkowania, oczekiwania i przerw systemowych.

3.3. Zliczanie operacji arytmetycznych. Dla każdej funkcji przeprowadzono obliczenie łącznej liczby operacji addytywnych (dodawania i odejmowania) i multiplikatywnych (mnożenia i dzielenia) zmiennoprzecinkowego we wszystkich precyzjach. Pominięto działania całkowitoliczbowe i hybrydowe, mogące wystąpić na pewnych procesorach, np. `muladd`. Użyto makra `@count_ops` z biblioteki *GFlops*.

3.4. Oszacowanie złożoności asymptotycznej. Do zebranych danych zastosowano sześcienną aproksymację wielomianową.

```

function inv!(matrix::MatrixOrView)::MatrixOrView
    n = size(matrix, 1)
    n_half = n ÷ 2

    if n ≤ 2
        return trivial_inv!(matrix)
    end

    upper = 1:n_half
    lower = n_half+1:n

    @inbounds @views begin
        m11 = matrix[upper, upper]
        m12 = matrix[upper, lower]
        m21 = matrix[lower, upper]
        m22 = matrix[lower, lower]
    end

    m11_inv = inv!(m11)

    @turbo @fastmath m22 .= m21 * m11_inv * m12
    m22_inv = inv!(m22)

    let m11_inv_copy = copy(m11_inv)
        @turbo @fastmath m11_inv += m11_inv_copy * m12 * m22_inv * m21 * m11_inv_copy
        @turbo @fastmath m12 += -m11_inv_copy * m12 * m22_inv
        @turbo @fastmath m21 += -m22_inv * m21 * m11_inv_copy
    end

    return matrix
end

```

FIGURE 7. Funkcja realizująca algorytm odwracania macierzy

```

function trivial_inv!(matrix::MatrixOrView)::MatrixOrView
    @inbounds a, c, b, d = matrix
    @fastmath inv_det = Base.inv(a * d - b * c)

    @inbounds @fastmath begin
        matrix[1, 1] = d * inv_det
        matrix[1, 2] = -b * inv_det
        matrix[2, 1] = -c * inv_det
        matrix[2, 2] = a * inv_det
    end

    return matrix
end

```

FIGURE 8. Funkcja pomocnicza w algorytmie odwracania, obliczająca odwrotność macierzy 2×2

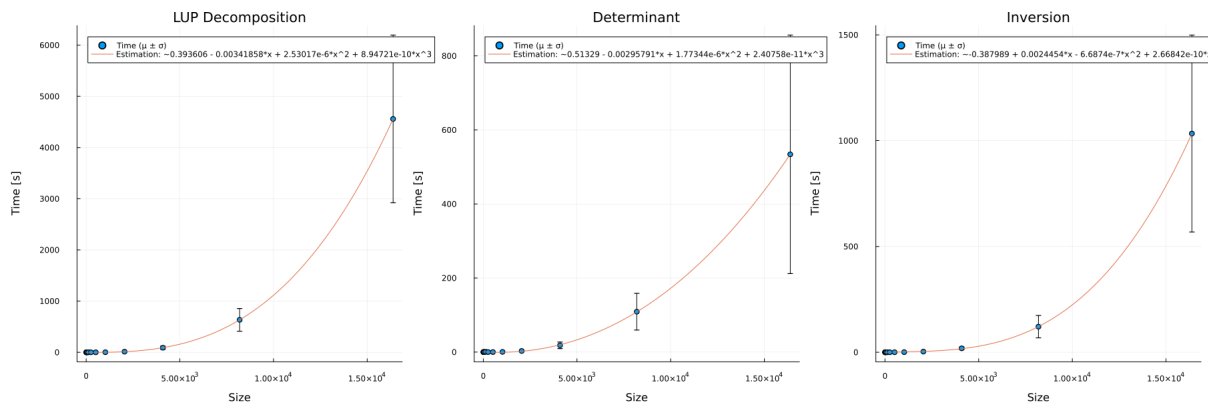


FIGURE 9. Czas działania w zależności od rozmiaru danych wejściowych, dla poszczególnych algorytmów wraz z aproksymacją wielomianową

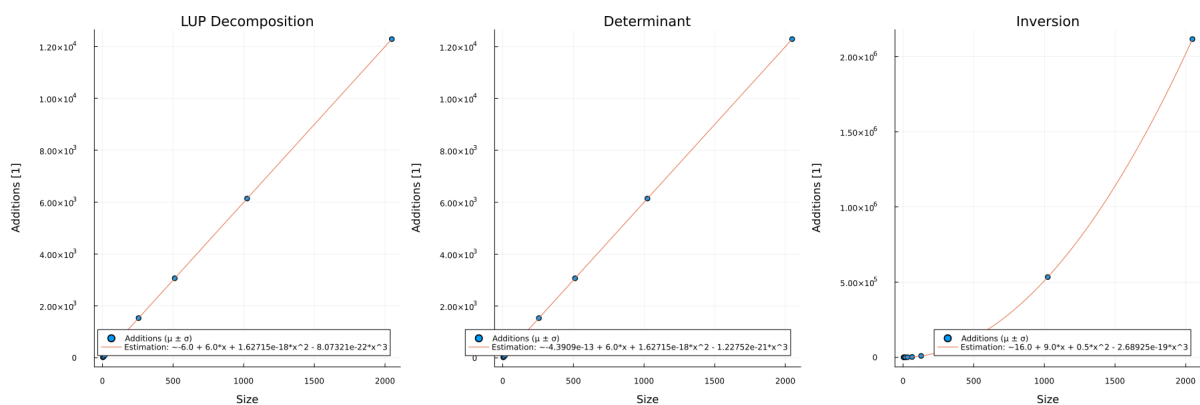


FIGURE 10. Liczba operacji addytywnych w zależności od rozmiaru danych wejściowych, dla poszczególnych algorytmów wraz z aproksymacją wielomianową

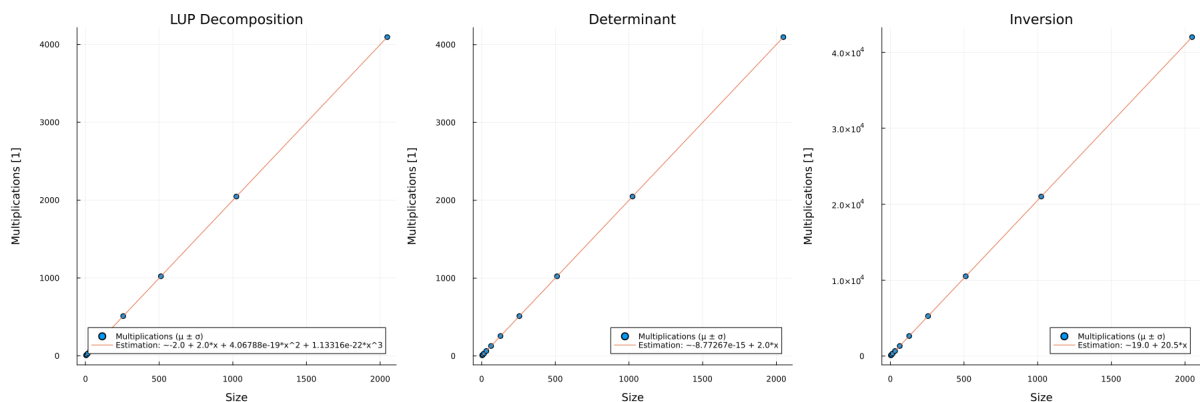
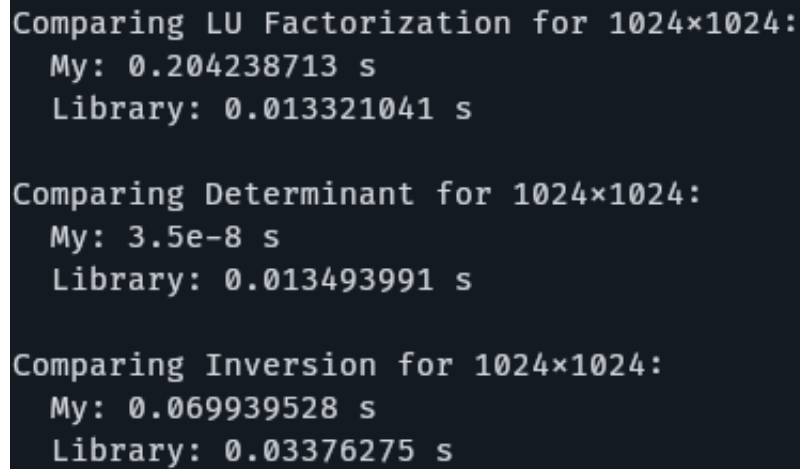


FIGURE 11. Liczba operacji multiplikatywnych w zależności od rozmiaru danych wejściowych, dla poszczególnych algorytmów wraz z aproksymacją wielomianową



```
Comparing LU Factorization for 1024x1024:
My: 0.204238713 s
Library: 0.013321041 s

Comparing Determinant for 1024x1024:
My: 3.5e-8 s
Library: 0.013493991 s

Comparing Inversion for 1024x1024:
My: 0.069939528 s
Library: 0.03376275 s
```

FIGURE 12. Porównanie czasu działania funkcji

Wnioski na temat wyniku oszacowania:

- (1) **Jakość aproksymacji:** Ze względu na niewielką liczbę punktów, dopasowanie jest nie najwyższej jakości, jednak obrazuje ogólny trend.
- (2) **Współczynniki wielomianów:** Jako etykiety na wykresie przedstawiono dopasowanie wielomiany. Pierwszy (w sensie malejącej kolejności potęg) niezerowy współczynnik można traktować jako estymatę stałej w *asymptotycznej* złożoności.
- (3) **Wiarygodność:** Oszacowania nie zgadzają się z teoretycznymi przewidywaniami na temat złożoności algorytmów. Należy oczekiwać, że dla każdego algorytmu co najmniej jedno z działań arytmetycznych wystąpi w liczbie zależnej od danych wejściowych sześciennie. Potencjalne przyczyny rozbieżnych oszacowań to: **a)** zbyt mała liczba punktów interpolacji, **b)** pominięcie przez procedurę zliczającą operacje tych pętli w kodzie, które zostały w procesie kompilacji przekształcone przez SIMD lub optymalizator polihedralny.

3.5. Porównanie z implementacją biblioteczną. Obraz 12. przedstawia porównanie czasu działania implementacji poszczególnych algorytmów z odpowiadającymi im funkcjami z biblioteki *LinearAlgebra* w Julii.